

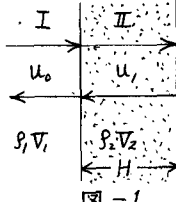
III-37 地中防振壁による地盤振動の軽減に関する実験

立命館大学理工学部 正員 ○島山直隆
同 上 正員 早川 清

1. まえがき。工場機械、交通車あるいは土木工事などによる地盤の振動を軽減する方法として距離による振動の減衰を考慮して振動源より適当な距離をとることの外に溝による振動遮断の方法や、さらに地中に防振壁を設ける方法がある。溝による振動遮断の方法は溝自体を空にするか、または砂を投入して乾燥状態に保つことが必要であるが、これらは特殊な場合を除いて実施することは難しいので地中に防振壁を設けることが考えられている。溝による場合は波動の回折が問題となるが、地中壁については波動の壁体中の透過と回折が問題となるが、まず透過についての検討が必要であろう。坪井は寒天を用いて模型実験を行ない、波長の数分の一の幅や深さの溝によつて対岸の振幅を著しく減少させること、しかも一定の大きさの溝はある程度まつた波長の波を遮げるのに都合のよいことなどを明らかにした。また妹次は地中に無限に長い円形中空が存在するときの従波の回折を理論的に計算した。さらに鈴木、石垣は衝撃波について空溝の振動遮断の効果に関する実験を行なっている。これらの結果は表-1に示す通りである。筆者の1人も実際地盤について溝の効果に関する小規模実験を行ない定常振動については溝がある程度浅くても特定の波長をもつ波動に対しては若干の効果が期待できること、および衝撃的波動に対しては波長の数分の一溝深でもかなり確実に効果が期待できることを明らかにした。地中壁については自動車による道路より発生する振動を防ぐために波長の1/8の深さのコンクリート壁を設けた東京都の例がある。

ここでは地中壁による振動急速減衰法の可能性について検討するために地中壁の音響抵抗や地盤より大きい場合と小さい場合について波動の透過の理論計算と模型実験結果について述べることにする。

2. 波動透過の理論計算。図に示すように密度 ρ_1 、速度 V_1 と有する地盤中に密度 ρ_2 、速度 V_2 で幅 H の地中壁があるものとすれば図の左側媒質Ⅰより変位振幅1で振動数 f の定常波が入射したとき地中壁の右側媒質Ⅲにおける変位



振幅 u_2 は次式で表わされる。

$$u_2 = \frac{2\alpha}{\sqrt{(\alpha^2 - 1)^2 \sin^2 \frac{\pi f}{V_2} H + 4\alpha^2}} \quad \dots \quad (1)$$

ここに $\alpha = \rho_1 V_1 / \rho_2 V_2$ 、 $\rho_1 V_1$ 、 $\rho_2 V_2$ はそれぞれ媒質ⅠとⅢ、およびⅡの固有音響抵抗、 $\lambda_2 = \frac{\pi f}{V_2}$ は媒質Ⅱにおける波長である。 $\alpha = u_2/u_0$ とすればこれは透過波と入射波の振幅比を表わす。図-2は(1)式の計算結果を α を引数として $\alpha \pi f H / u_0$ 、または H の関係を示したものである。図-2によ

表-1

妹次(定常波)	20%	振幅比
$\frac{\pi f}{V_2} L$:波長	0.75	0.25
	0.5	0.40
	0.35	0.5
	0.25	0.6
鈴木石垣(衝撃波)	$\pi f / A$	振幅比
入: 波長	0.75	0.3
A : 壁幅	0.5	0.4
	0.25	0.5

れば α が 1 に近いときはほとんど透過し、 α が 1 から離れるにつれてこの値は小さくなること、および $H = \lambda/4$ において最小値を示すことが知られる。図-3 は壁厚 H が波長の $1/4$ と $1/8$ のとき、 α が $0.1 \sim 10$ に変化した場合での値を示した。表-2 は(1)式によつて $H = \lambda/4$, $T = 0.198$ のとき $\alpha = 0.1$ および 10 の場合の計算例を示したものである。 $\alpha = 0.1$ の場合は地中壁としてコンクリートを用いた例に、また $\alpha = 10$ の場合は

合板樹脂発泡材を用いた例に相当する。振動数によつて異なるけれどもコンクリートを用いた場合は非常に厚い壁を要することが分る。実際に施工するときは 30cm 程度であることを望ましいから合板樹脂発泡材が有利である。

この計算は透過のみを考えたが実際には回転も起つから効果はより減少することを考慮しなければならぬ。

3. 土槽による模型実験。高さ 80cm , 幅 78cm , 長さ 220cm の土槽内に発泡エム板をはりつけ、この中に砂と小麦粉(2%)

と灯油(5%)を混合した材料を投入して一概に密を固めた地盤を作成し、この表面に圧電型加速計と設置して、重錘の落下によって発生した波動の距離による減衰を測定した。地盤そのもの、各種深度の空溝、地中壁としてコンクリート板、木板、発泡スチロール板、木パネル、レタングル板などについて加速度振幅減衰を測定した一例を図-4 に示した。図-4 は振動記録中の最大振幅についてその減衰の様子を示した。この図によつてもコンクリート板は効果がないことが知られ、木板、発泡スチロール板は空薄と同程度の効果があることが知られる。なお寒天による模型実験を行つてあり合せで講演の件、詳細を述べたい。

4. 総じて地中壁としては回転と透過を両立とすべきであるが、コンクリートのような材料よりは堅い合板樹脂発泡材のようなものを使用することが防振上有利である。

図-2

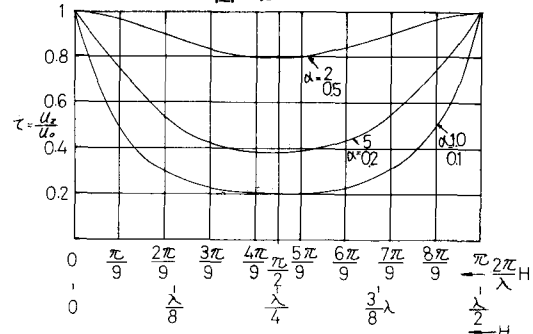
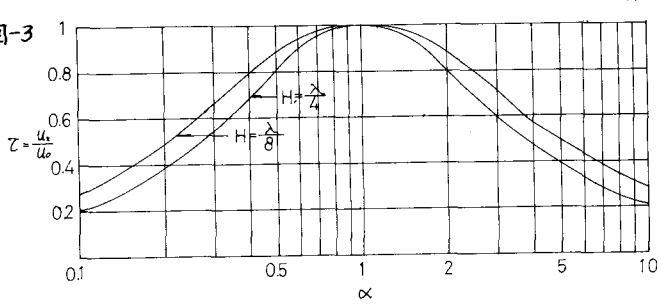


図-3



	S_1 (dyne/cm^2)	S_2 (dyne/cm^2)	V_1 (cm/sec)	V_2 (cm/sec)	$\alpha = \frac{S_1 V_1}{S_2 V_2}$	$f=5\%$		$f=20\%$		$f=40\%$	
						$\lambda(\text{m})$	$H(\text{m})$	$\lambda(\text{m})$	$H(\text{m})$	$\lambda(\text{m})$	$H(\text{m})$
$S_1 < S_2 V_2$	1.5	2.0	400	3,000	0.1	600	150	150	38	75	19
$S_1 > S_2 V_2$	1.5	0.5	400	120	10	24	6	6	1.5	3	0.75

入：波長， $H = \lambda/4$ ：地中壁厚さ

